

## آبستتگی موضعی بستر در پایین دست دریچه کشویی

حسین حمیدی فر<sup>۱\*</sup> - محمدحسین امید<sup>۲</sup> - محسن نصرآبادی<sup>۳</sup>

تاریخ دریافت: ۸۸/۱۰/۴

تاریخ پذیرش: ۸۹/۳/۲

### چکیده

به منظور پیشگیری از آبستتگی گستره ناشی از جریان پرسرعت خروجی در پایین دست سازه های هیدرولیکی مانند دریچه های کشویی، معمولاً از یک کف بند صلب استفاده می شود. اگرچه وجود کف بند تا حد زیادی منجر به حفاظت بستر می گردد، اما به علت مستهلك نشدن کامل انرژی مازاد جریان، در انتهای کف بند آبستتگی موضعی اتفاق می افتد که شکل و ابعاد حفره آبستتگی تشکیل شده باقیستی در طراحی ها پیش بینی گردد. در این تحقیق، ابتدا مهمترین عوامل موثر بر فرآیند آبستتگی در پایین دست کف بند شناسایی و با استفاده از تحلیل ابعادی بصورت بدون بعد تنظیم گردیدند. سپس ۲۲ آزمایش با مدت زمان ۱۲ ساعت، بر مبنای پارامترهای بدون بعد بدست آمده از جمله پارامتر بدون بعد جدیدی که در برگزینده تاثیر پارامترهای مختلف است، در یک مدل آزمایشگاهی که شامل یک دریچه کشویی و یک کانال مستطیلی به طول ۹/۰ متر، عرض ۵/۰ متر و ارتفاع ۶/۰ متر بود انجام شد. با استفاده از نتایج آزمایشگاهی، روابط و نمودارهای بدون بعد جدیدی برای محاسبه طول های مشخصه حفره آبستتگی از قبیل حداکثر عمق انجام شد. با استفاده از مقایسه نتایج آزمایشگاهی، روابط افقی انتهای کف بند تا تاج تلماسه و ارتفاع تلماسه آبستتگی و محل وقوع آن، مقدار آبستتگی بستر در مجاورت کف بند، حداکثر گسترش حفره، فاصله افقی انتهای کف بند تا تاج تلماسه و ارتفاع تلماسه ارائه و با مطالعات پیشین مقایسه گردید. با توجه به وجود تشابه بین پروفیل های بی بعد حفره آبستتگی که از آزمایش های این تحقیق بدست آمد و با استفاده از رابطه ساده ارائه شده، می توان شکل گودال را در شرایط مختلف تعیین کرد و برای کاهش خسارات احتمالی، اقدامات لازم را انجام داد.

**واژه های کلیدی:** آبستتگی موضعی، دریچه کشویی، کف بند صلب، تشابه هندسی

### مقدمه

وقایع پرداخته و آن را به صورت آزمایشگاهی و تجربی بررسی کرده اند. نکته مهمی که در مورد بستر فرسایش یافته باید اشاره نمود این است که اگر پروفیل ها بر اساس یک پارامتر مناسب بی بعد گردد، شکل آنها از نظر هندسی مشابه و مستقل از زمان خواهد بود و همچنین اندازه ذرات بر روی آن تائیرگذار نیست (۱۱ و ۹). عدم واستگی پروفیل های بی بعد حفره آبستتگی به زمان و اندازه رسوبات، قابلیت کاربرد نتایج آزمایشگاهی در شرایط میدانی را بسیار افزایش می دهد. با این وجود، درگاهی (۵) هیچگونه تشابه بین پروفیل های آبستتگی مشاهده نکرد. روابط تجربی و نیمه تجربی بسیار برای پارامترهای مختلف آبستتگی از قبیل حداکثر عمق حفره در حالت تعادل، توسط محققین مختلف ارائه شده است. اغلب این روابط، حداکثر عمق آبستتگی را به عمق و دبی جریان و اندازه متوسط ذرات ارتباط می دهند. اما این روابط نتایج بسیار متفاوتی را به ازای شرایط یکسان جریان نشان می دهند. اینگونه تضادها در بحث آبستتگی در مجاورت سازه های هیدرولیکی، لزوم انجام تحقیقات بیشتر برای افزایش دانش و آگاهی موجود در راستای برنامه ریزی مناسب و کاهش خسارات ناشی از آبستتگی را ضروری می سازد.

آبستتگی موضعی یکی از موضوعات مهم و قابل توجه در مهندسی رودخانه و هیدرولیک جریان در بستر های آبرفتی می باشد. چنانچه در یک بازه مورد بررسی، مقدار رسوب وارد شده کمتر از مقدار رسوب خارج شده باشد، عمل فرسایش کف رودخانه و یا بدنه آن رخ می دهد و کف رودخانه بتدریج گود می شود. از جمله اثرات منفی گود شدن بستر رودخانه، می توان به شکست برشی و لغزش در بستر و نیز افزایش گرادیان هیدرولیکی خروجی اشاره کرد که در نهایت، افزایش فشار بالابرند و ایجاد پدیده تراوش را در پی دارد.

جریان در محل وقوع آبستتگی، یک فرایند دوفازی (آب و رسوب) است. بنابراین آبستتگی متأثر از متغیرهای بسیاری از قبیل پارامترهای جریان، مشخصات بستر آبرفتی، زمان و هندسه آبراهه می باشد. به همین دلیل محققین، هر یک به مطالعه بخشی از این

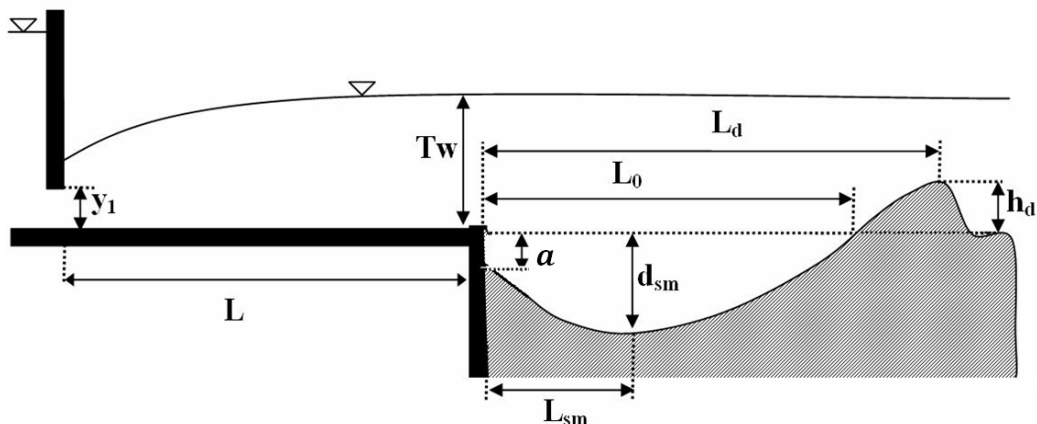
۱- به ترتیب دانشجوی دکتری سازه های آبی، دانشیار و دانشجوی کارشناسی ارشد سازه های آبی، گروه مهندسی آبیاری و آبادانی، دانشگاه تهران  
۲- نویسنده مسئول: ( Email : [hahmidifar@ut.ac.ir](mailto:hahmidifar@ut.ac.ir) )

دانشگاه تهران استفاده شد. نمایی از مدل آزمایشگاهی مورد استفاده در شکل (۲) آورده شده است. آزمایش‌ها در یک کanal مستطیلی به طول ۹/۰ متر، عرض ۰/۵ متر و ارتفاع ۰/۶ متر از جنس پلاکسی گلاس انجام شد. برای اندازه‌گیری دیجیتالی جریان ورودی به سیستم از یک سرریز مستطیلی واسنجی شده بدون فشرده‌گی جانسی استفاده گردید. با نصب یک دریچه کشویی در ابتدای کanal مستطیلی، شرایط ایجاد ارتفاع اولیه برای تشکیل جهش هیدرولیکی فراهم گردید. بازشدگی دریچه در تمامی آزمایش‌ها ثابت و برابر ۲/۰ سانتی‌متر در نظر گرفته شد. طول کف‌بند صلب طبق معیار طول پرش ارائه شده توسط برادلی و پترکا (۳)، معادل ۹/۲ متر بودت آمد که این مقدار برابر ۱/۰ متر و عمق مخزن رسوبات برابر ۲۰/۰ سانتی‌متر و طول آن برابر ۱۶۵ سانتی‌متر در نظر گرفته شد.

علیرغم روابطی که برای پارامترهای تعادلی حفره ارائه گردیده است، برخی گزارشات حاکی از آن است که مدت زمان لازم برای حصول شرایط تعادل برای حفره آبیست‌تگی می‌تواند بسیار طولانی باشد و حتی در بعضی شرایط ممکن است حفره اصلاً به تعادل نرسد (۴). طرحواره‌ای از حفره آبیست‌تگی در رسوبات غیرچسبنده همراه با پارامترهای مشخصه حفره در شکل (۱) آورده شده است. هدف از انجام این تحقیق، شناخت مهمترین عوامل موثر بر پدیده آبیست‌تگی رسوبات غیرچسبنده در پایین دست یک کف‌بند افقی با تکیه بر دانش موجود و بررسی تاثیر این عوامل با استفاده از یک مدل آزمایشگاهی است.

## مواد و روش‌ها

برای انجام آزمایش‌های این تحقیق، از مدل یک دریچه کشویی در آزمایشگاه مرکزی تحقیقات آب گروه مهندسی آبیاری و آبادانی



شکل ۱ - طرحواره‌ای از حفره آبیست‌تگی و پارامترهای مشخصه آن



شکل ۲ - مدل آزمایشگاهی مورد استفاده در آزمایش‌ها

غیریکنواختی پروفیل در عرض حفره را به آشفته بودن جریان در پایاب پرش هیدرولیکی و تصادفی بودن بردارهای سرعت در این ناحیه نسبت داده است. با انجام تحلیل ابعادی و استفاده از تئوری باکینگهام ( $\pi$ ) و ثابت نگهداشتن همه پارامترها بجز دبی جریان و عمق پایاب، دو پارامتر بی بعد موثر بر پدیده آبشنستگی در انتهای کف بند با طول ثابت، به صورت زیر تعیین شدند:

$$\frac{d_{sm}}{y_1} = f\left(F_0, \frac{T_w}{y_1}\right) \quad (1)$$

در این رابطه،  $d_{sm}$  حداکثر عمق آبشنستگی،  $y_1$  بازشدگی دریچه،  $F_0 = U_0 / (gd_{50}(Sg-1)^{0.5})$  عدد فرود ذره،  $U_0$  سرعت جت ورودی،  $S_g = p_s / p_w$  جرم مخصوص شتاب نقل،  $d_{50}$  اندازه متوسط رسوبات،  $T_w$  درات رسوب،  $p_s$  جرم مخصوص ذرات رسوب،  $p_w$  جرم مخصوص آب و  $T_w$  عمق پایاب میباشد. مطالعات انجام شده نشان می‌دهد که تاثیر عمق پایاب به مقدار عدد فرود ذره بستگی دارد (۱). بنابراین با ضرب کردن دو پارامتر بدون بعد  $F_0$  و  $T_w/y_1$  می‌توان پارامتر جدیدی به صورت  $F_0 T_w/y_1$  تعریف کرد. این پارامتر می‌تواند تا حد زیادی تناظر موجود در مطالعات پیشین را برطرف کند. زیرا تاثیر پارامترهای مانند عدد فرود ذره و عمق پایاب را به طور مستقیم و تاثیر پارامترهایی مانند اندازه ذره، سرعت جریان ورودی و وزن مخصوص ذرات رسوب را به طور غیرمستقیم در بر می‌گیرد. با توجه به توضیحات ذکر شده، می‌توان روابط و نمودارهای جدیدی را برای محاسبه پارامترهای مشخصه حفره آبشنستگی بر اساس پارامتر جدید معروفی شده در بالا ارائه کرد. با بررسی پروفیل‌های حفره آبشنستگی در آزمایش‌های مختلف، مشاهده شد که شکل پروفیل‌ها با یکدیگر مشابه می‌باشند. براین اساس، چنانچه حداکثر عمق آبشنستگی ( $d_{sm}$ ) به عنوان عامل بی بعد کننده در نظر گرفته شود، شکل حفره‌های آبشنستگی در آزمایش‌های مختلف با کمی پراکندگی در تاج تلماسه مشابه می‌باشند که در شکل (۴) نشان داده شده است. با آزمودن پارامترهای مختلف برای بی بعد کردن پروفیل‌های حفره آبشنستگی، در نهایت پارامترهای  $d_{sm}$  و  $L_d$  به ترتیب برای بی بعد کردن گسترش عمقی و طولی حفره آبشنستگی انتخاب شدند که نتایج آن در شکل (۴) آورده شده است.  $L_d$  فاصله افقی انتهای کف‌بند تا تاج تلماسه است. پروفیل بی بعد بدست آمده حاصل از رگرسیون بین داده‌های آزمایشگاهی در تحقیق حاضر، از یک معادله درجه سه بصورت زیر پیروی می‌کند که نسبت به معادله درجه شش ارائه شده توسط موسوی خندان (۲) و نیز رابطه مثلثاتی فرهودی و اسمیت (۷) شکل ساده‌تری دارد.

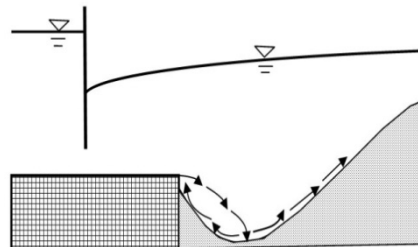
$$\frac{d_s}{d_{sm}} = a + b \left( \frac{x}{L_d} \right) + c \left( \frac{x}{L_d} \right)^2 + d \left( \frac{x}{L_d} \right)^3 \quad (2)$$

در این رابطه  $d_s$  عمق آبشنستگی در فاصله  $x$  از انتهای کف‌بند می‌باشد و ثابت‌های  $a$ ,  $b$ ,  $c$  و  $d$  به ترتیب برابر هستند با  $-0.32$ .

در این تحقیق از دو نوع ماسه یکنواخت با دانه بندی متفاوت و به ترتیب با اندازه متوسط  $d_{50} = 1/85$  و  $d_{50} = 1/73$  میلی‌متر و انحراف معیار هندسی  $1/12$  و  $1/1$  استفاده شده است. عمق پایاب بوسیله یک دریچه کشویی که در انتهای مدل آزمایشگاهی تعییه شده است تنظیم می‌گردد. در پایان مدت زمان آزمایش (۱۲ ساعت)، برداشت پروفیل بستر توسط عمق‌سنج با دقت  $0.1 \pm 0.05$  میلی‌متر انجام و نهایتاً جریان قطع و فرآیند فوق برای انجام آزمایش بعدی تکرار می‌شود.

### مشاهدات آزمایشگاهی و نتایج

با برخورد جت سیال به ذرات رسوب، آبشنستگی آغاز و با توسعه حفره آبشنستگی، فرسایش و رسوبگذاری بطور متناوب انجام می‌شود. در طول فاز فرسایشی، جت سیال که بطور مستقیم به بستر برخورد می‌کند منجر به آبشنستگی سریع و قابل توجه مصالح بستر می‌شود. بعد از گذشت مدت زمان کوتاهی در حد چند ثانیه از فرآیند فرسایش، جت سیال به سمت بالا منحرف و به یک جت سطحی تبدیل می‌گردد و قسمتی از حفره مجدداً پر می‌شود (فاز رسوبگذاری). در لبه انتهایی کف‌بند، جداشده‌گی جریان اتفاق می‌افتد و جت افقی منتشر شده پس از ورود به حفره در عمق ترین نقطه حفره آبشنستگی به دو قسمت تقسیم می‌شود که این تقسیم شدن را می‌توان از نحو حرکت رسوبات درون حفره مشاهده کرد. بگونه‌ای که مقداری از رسوبات کنده شده، به سمت پایین دست حرکت کرده و از حفره خارج می‌شوند و باقیمانده رسوبات در اثر جریان برگشتی به سمت لبه کف‌بند جابجا شده و در یک ناحیه با جریان چرخشی قرار می‌گیرند (شکل ۳). در انتهای حفره، در اثر تجمع رسوبات فرسایش یافته که از حفره خارج شده‌اند، یک تلماسه تشکیل می‌شود. با عemic تر شدن حفره آبشنستگی، ارتفاع تلماسه نیز افزایش می‌یابد. ذراتی که به راس تلماسه می‌رسند به پایین لغزیده و باعث گسترش آبشنستگی در راستای طولی می‌شوند.



شکل ۳- تقسیم شدن درون حفره آبشنستگی

بنابر آزمایش‌های انجام شده در این تحقیق، مشخص شد که پروفیل آبشنستگی در عرض کانال متغیر و به صورت سه-بعدی می‌باشد. متغیر بودن پروفیل آبشنستگی در عرض کانال، در برخی از مطالعات قبلی نیز گزارش شده است. بطور مثال موسوی خندان (۲)

مقدار آبشنستگی بستر در مجاورت کفبند را پیش‌بینی کرد. با جایگزینی  $x=0/0$  در رابطه (۲)، طول مشخصه  $a$  که در شکل (۱) نشان داده شده است، بدست می‌آید:

$$x = 0.0, \quad d_s = a \rightarrow \frac{d_s}{d_{sm}} = \frac{a}{d_{sm}} = -0.32 \quad (3)$$

بنابراین بعد از حصول شرایط تعادلی، تراز اولیه بستر بالافاصله بعد از کفبند به اندازه  $0/32$  برابر حداکثر عمق آبشنستگی پایین می‌افتد. بر اساس یافته‌های این تحقیق، پارامتر  $L_d$  را می‌توان از رابطه (۴) که از رگرسیون بین پارامترهای بدون بعد حاصل شده است، محاسبه کرد:

$$\frac{d_s}{y_1} = a_1 + b_1 \cdot \ln\left(\frac{F_0 Tw}{y_1}\right) \quad (4)$$

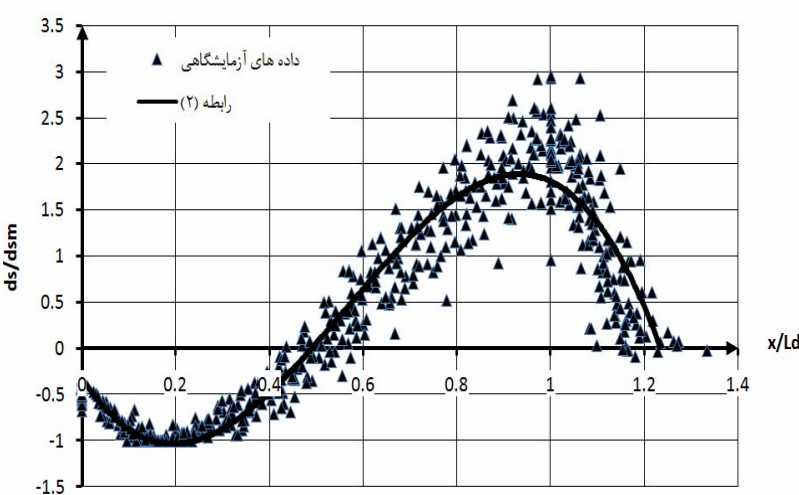
در این رابطه ثابت‌های  $a_1$  و  $b_1$  به ترتیب عبارتند از  $-126/86$  و  $34/75$  و ضریب همبستگی این رابطه  $R^2=0/95$  می‌باشد. همچنین تغییرات  $y_1$  در مقابل  $L_d/y_1$  در کنار رابطه (۴) در شکل (۵) در شکل (۵) اورده شده است.

از دیدگاه طراحی سازه‌های هیدرولیکی که در معرض آبشنستگی موضعی هستند، دو پارامتر حداکثر عمق آبشنستگی و محل وقوع آن از اهمیت بسیار زیادی برخوردار است. حداکثر عمق آبشنستگی، در کنترل گرادیان خروجی جریان نشست از زیر سازه‌های هیدرولیکی بسیار تاثیرگذار است. در شکل (۶) تغییرات  $d_s/y_1$  در مقابل پارامتر بدون بعد  $F_0 Tw/y_1$  ترسیم شده است. همانگونه که در این نمودار مشاهده می‌شود، با افزایش  $F_0 Tw/y_1$  که می‌تواند در اثر زیاد شدن عمق پایاب و یا سرعت جت رخ دهد، حداکثر عمق آبشنستگی افزایش می‌یابد.

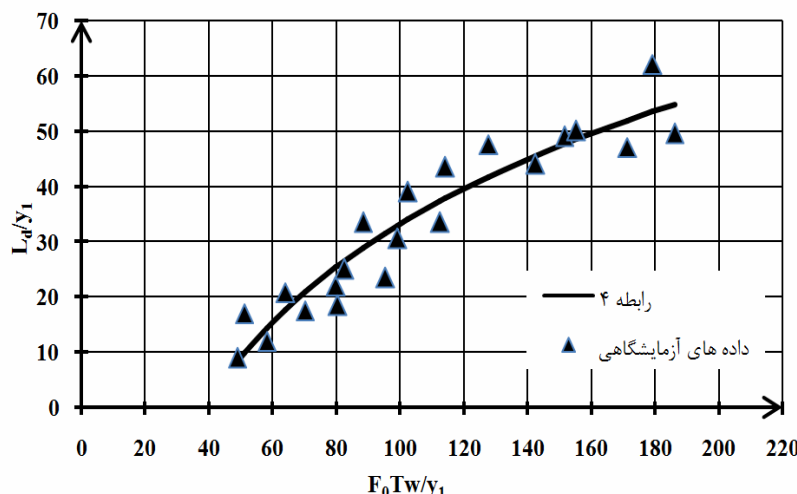
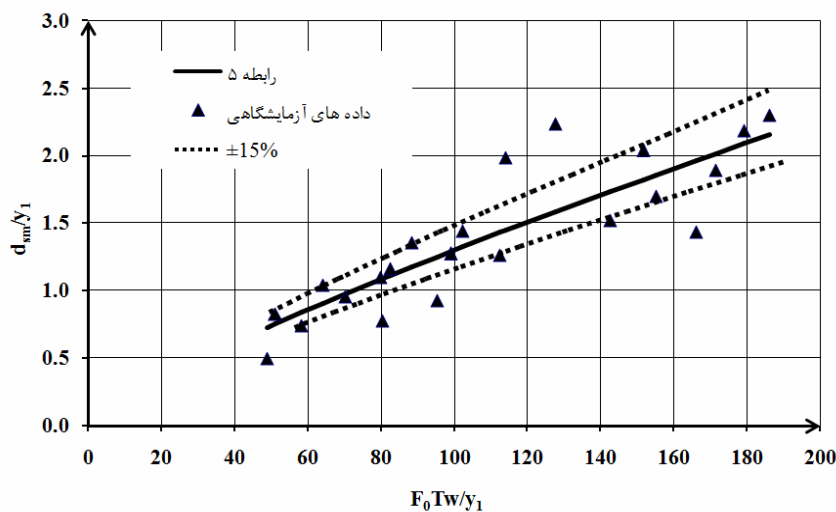
$-14/56, 24/57, 7/88$  می‌باشد. لازم به ذکر است که این رابطه برای  $x/L_d < 1/24$  معتبر است. چگونگی تعیین پارامترهای  $d_{sm}$  و  $L_d$  در ادامه آورده شده است.

از آنجا که پارامترهای بکار رفته برای بی‌بعد کردن طول‌های مشخصه حفره آبشنستگی در تحقیق حاضر، کمتر توسط محققین پیشین مورد استفاده قرار گرفته است بنابراین امکان مقایسه مستقیم با نتایج پیشین چندان وجود ندارد ولی با این وجود در موارد ممکن مقایسه صورت گرفته است. به طور مثال، در نمودارهای بی‌بعد ارائه شده توسط نیک‌حسن و نارایانان (۹)، حداکثر گسترش طولی حفره آبشنستگی ( $L_d$ ) در محدوده  $0/7$  تا  $0/1$  برابر با قرار دارد که با توجه به شکل (۴) این مقدار در تحقیق حاضر معادل  $0/5$  می‌باشد. بدست آمده است. یک علت برای این اختلاف‌ها می‌تواند تفاوت در طول کفبند مورد استفاده در این دو تحقیق باشد. زیرا در آزمایش‌های نیک‌حسن و نارایانان (۹) از کفبند با طول کمتری نسبت به تحقیق حاضر استفاده شده است. بنابراین، آشفتگی پیشتری در اثر پرش هیدرولیکی به پایین دست منتقل شده که منجر به ایجاد حفره با ابعاد بزرگتر می‌گردد. همچنین لارسن (۸) نیز در شرایط عدم حضور کفبند، به نتیجه  $L_d = 0/7$  دست یافت.

همانطور که پیش از این ذکر شد جریان برگشتی درون حفره، رسوبات را از مقطع با حداکثر عمق آبشنستگی به سمت بالادرست جابجا می‌کند. این جریان برگشتی، در هنگام برخورد با دیواره عمودی کفبند، رسوبات را از این ناحیه جدا کرده و منجر به از بین رفتن پوشش خاکی و آشکار شدن دیواره می‌شود که می‌تواند پایداری سازه را با خطر جدی مواجه کند. بنابراین بایستی در هنگام طراحی سازه،



شکل ۴ - پروفیل بی‌بعد حفره آبشنستگی در رسوبات غیرجنبند

شکل ۵ - تغییرات  $L_d/y_1$  بر حسب پارامتر  $F_0 Tw/y_1$ شکل ۶ - تغییرات حداقل عمق آبستگی بر حسب پارامتر  $F_0 Tw/y_1$ 

مقادیر محاسبه شده هستند که این امر می‌تواند ناشی از طول کوتاه کف‌بند (حداکثر ۵/۰ متر) در تحقیقات سرکار و دی (۱۲) باشد که منجر به آبستگی بیشتر می‌شود.

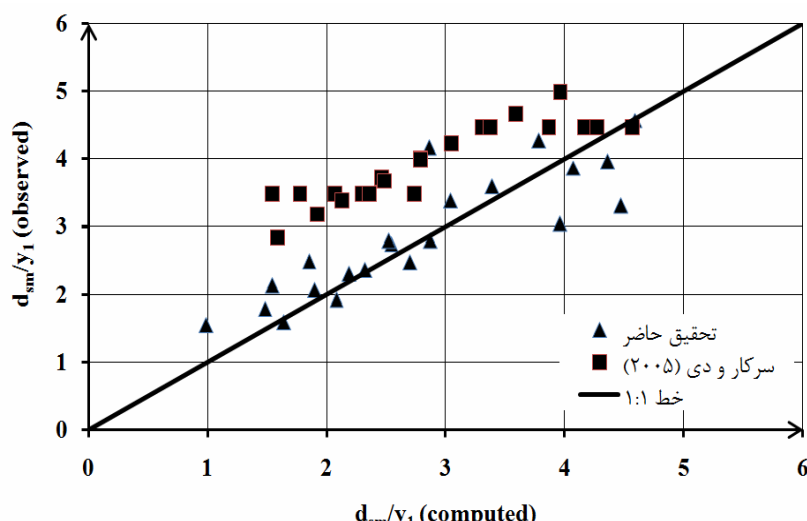
همچنین با تجزیه و تحلیل داده‌های آزمایشگاهی این تحقیق، رابطه‌ای خطی به صورت زیر برای محاسبه مقییت رخداد حداکثر عمق آبستگی نسبت به لبه کف‌بند  $L_{sm}$  با ضریب همبستگی  $R^2=0/۹۰$  بدست آمد که در شکل (۸) همراه با نتایج آزمایشگاهی ترسیم شده است:

$$\frac{L_{sm}}{y_1} = 0.055 \left( F_0 \frac{T_w}{y_1} \right) - 0.203 \quad (6)$$

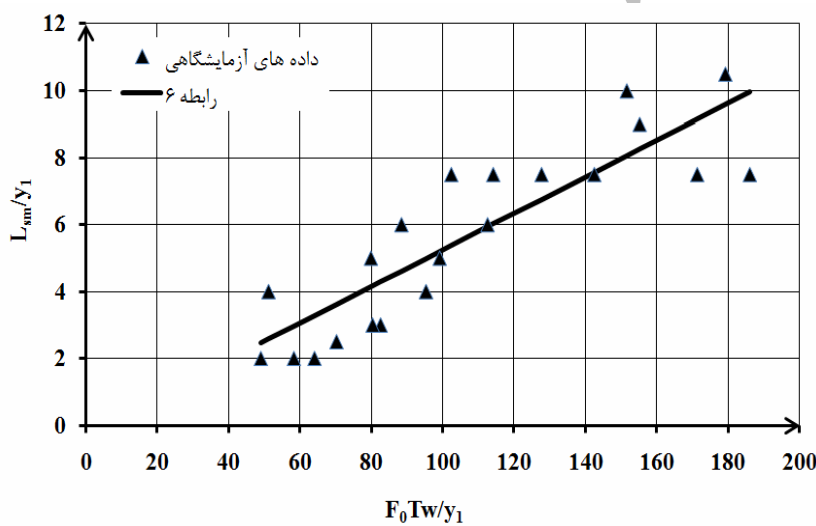
همچنین با استفاده از داده‌های حاصل از تحقیق حاضر، رابطه‌ای نمایی (۵) با ضریب همبستگی  $R^2=0/۹۴$  بدست آمد که در شکل (۶) ترسیم شده است در این رابطه ثابت‌های  $a_2$  و  $b_2$  به ترتیب عبارتند از  $0/۰۳۱$  و  $0/۸۱$ .

$$\frac{d_{sm}}{y_1} = a_2 \left( F_0 \frac{T_w}{y_1} \right)^{b_2} \quad (5)$$

با توجه به شکل (۶) مشاهده می‌شود که بیش از ۷۳ درصد از داده‌های آزمایشگاهی در محدوده خطای  $\pm 15\%$  مقادیر محاسبه شده از رابطه (۵) قرار دارند. برای مقایسه رابطه بدست آمده با تحقیقات پیشین، در شکل (۷) مقادیر محاسبه شده از رابطه (۵) در کنار داده‌های اندازه‌گیری شده توسط سرکار و دی (۱۲) آورده شده است. همانطور که مشخص است، مقادیر اندازه‌گیری شده تا حدی بیشتر از



شکل ۷ - مقایسه مقادیر حداقل عمق آبشنستگی محاسبه شده و اندازه‌گیری شده



شکل ۸ - نمودار محاسبه موقعیت رخداد حداقل عمق آبشنستگی

رسوبی که از حفره خارج شده‌اند بر روی هم انباشته شده و یک تلماسه تشکیل می‌دهند. از آنجا که حضور تلماسه بر چگونگی جریان در حفره آبشنستگی و درنتیجه بر سازوکار آبشنستگی تاثیرگذار است، بررسی تغییرات ارتفاع تلماسه نیز در شرایط مختلف ضروری به نظر می‌رسد. در شکل (۱۰) تغییرات ارتفاع بدون بعد تلماسه بر حسب پارامتر  $y_1$   $F_0Tw/y_1$  ترسیم شده است. همچنین با استفاده از داده‌های بدست آمده، رابطه‌ای به فرم زیر برای تعیین ارتفاع تلماسه بدست آمد که در شکل (۱۰) در کنار داده‌های جمع‌آوری شده ترسیم شده است:

$$\frac{y_4}{y_1} = a_4 + b_4 \cdot \ln\left(\frac{F_0Tw}{y_1}\right) \quad (8)$$

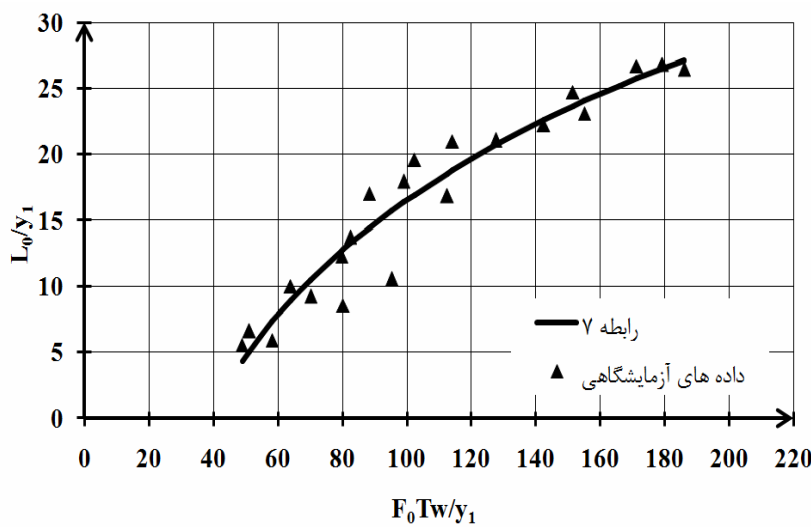
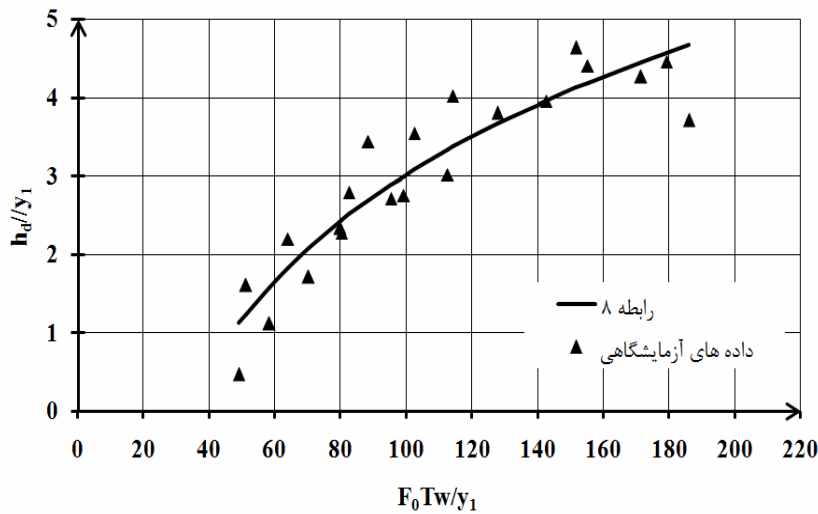
در این رابطه ثابت‌های  $a_4$  و  $b_4$  به ترتیب عبارتند از  $-9/21$  و  $2/66$ . ضریب همبستگی این رابطه  $R^2 = 0.93$  می‌باشد.

از دیگر پارامترهای آبشنستگی، حداقل گسترش حفره  $L_0$  است که نشاندهنده مکانی است که حفره آبشنستگی به تراز اولیه بستر برخورد می‌کند. پیش‌بینی تقریبی این طول مشخصه به طراحان در انتخاب طولی از بستر که به حفاظت نیاز دارد کمک می‌کند. در شکل (۹) تغییرات طول بی‌بعد حفره آبشنستگی در برابر پارامتر  $F_0Tw/y_1$  در رسوبات غیرچسبنده که نشاندهنده روند صعودی آن است، آورده شده است. همچنین معادله‌ای لگاریتمی به صورت زیر با ضریب همبستگی  $R^2 = 0.96$  بر داده‌های آزمایشگاهی برآورده شد:

$$\frac{L_0}{y_1} = a_3 + b_3 \cdot \ln\left(\frac{F_0Tw}{y_1}\right) \quad (9)$$

در این رابطه ثابت‌های  $a_3$  و  $b_3$  به ترتیب عبارتند از  $-62/29$  و  $17/12$ .

معمولًاً در انتهای حفره آبشنستگی رسوبات غیرچسبنده، ذرات

شکل ۹ - تغییرات حداقل طول حفره آبشستگی بر حسب پارامتر  $F_0Tw/y_1$ شکل ۱۰ - تغییرات ارتفاع بدون بعد تلاماسه در مقابل پارامتر  $F_0Tw/y_1$ 

یک پروفیل بی بعد منفرد که همه آزمایش‌های این تحقیق را پوشش می‌دهد، ارائه گردید. با معرفی یک پارامتر بدون بعد جدید به صورت  $F_0Tw/y_1$  که تاثیر پارامترهای مختلف را به صورت مستقیم و یا غیرمستقیم در بر می‌گیرد، روابط و نمودارهای جدیدی برای محاسبه تمامی طول‌های مشخصه حفره آبشستگی و تلاماسه بعد از حفره که می‌توان در طراحی‌ها برای پیش‌بینی ابعاد حفره آبشستگی به منظور کاهش خسارات احتمالی از آنها استفاده کرد.

## بحث و نتیجه‌گیری

با بررسی جامع مطالعات پیشین و انجام آنالیز ابعادی، پارامترهای بدون بعد موثر بر پدیده آبشستگی شناسایی و آزمایش‌ها بر مبنای آنها طرح ریزی شد. در زیر نتایج تحقیق بصورت خلاصه آورده شده است. مشاهده شد که در طول توسعه گودال آبشستگی، یک جریان برگشتی درون حفره ایجاد می‌شود که رسوبات را به سمت بالادست جابجا می‌کند. با بررسی پروفیل‌های آبشستگی در آزمایش‌های مختلف، مشخص شد که پروفیل‌ها از تشابه هندسی خاصی پیروی می‌کنند.

## منابع

- ۱- امید م.ح، حمیدی فر. و رئیسی ع. ۱۳۸۸. بررسی تاثیر عمق پایاب بر هندسه گودال آبشنستگی در پایین دست کفبند. DVD مجموعه مقالات هشتمین کنگره بین المللی مهندسی عمران، ۲۱ تا ۲۳ اردیبهشت، دانشگاه شیراز، ایران.
- ۲- موسوی خندان ا. ۱۳۷۹. بررسی پروفیل آبشنستگی پایین دست پرش هیدرولیکی با استفاده از تحقیقات آزمایشگاهی. پایان نامه کارشناسی ارشد، دانشگاه صنعتی شریف.
- 3- Bradley J.N., and Peterka A.J. 1957. Hydraulic design of stilling basins. Journal of Hydraulic Division, ASCE, Vol. 83, 1-24.
- 4- Brusers H.W.C., and Raudkivi A. 1991. Scouring. Design Manual, No. 2, Vol. 2, IAHR.
- 5- Dargahi B. 2003. Scour development downstream of a spillway. Journal of Hydraulic Research, Vol. 41, No. 4, 417-426.
- 6- Dey S., and Sarkar A. 2005. Scour downstream of an apron due to submerged horizontal jets. Journal of Hydraulic Engineering, Vol. 132, No. 3, 246-257.
- 7- Farhoudi J., and Smith K. 1985. Local scour profiles downstream of hydraulic jump. Journal of Hydraulic Research, Vol. 23, No. 4, 343-359.
- 8- Laursen E.M. 1952. Observations on the nature of scour. Proceedings of the Fifth Hydraulic Conference, Bulletin 34, University of Iowa, Iowa City, Iowa.
- 9- Nik Hassan N., and Narayanan R. 1985. Local scour downstream of an apron. Journal of Hydraulic Engineering, Vol. 111, No. 11, 1371-1385.
- 10-Rajaranam N., and Macdougall R. 1983. Erosion by plane wall jets with minimum tailwater. Journal of Hydraulic Engineering, Vol. 109, No. 7, 1061-1064.
- 11-Rajaratnam N. 1981. Erosion by plane turbulent jets. Journal of Hydraulic Research, Vol. 19, No. 4, 339-358.
- 12-Sarkar A., and Dey S. 2005. Scour Downstream of aprons caused by sluices. Proceedings of the ICE - Water Management, Vol. 158, Issue 2, 55-64.



## Bed Scour Downstream of Sluice Gates

H. Hamidifar<sup>1\*</sup> - M.H. Omid<sup>2</sup> - M. Nasrabadi<sup>3</sup>

### Abstract

In this research, the dynamics of local scour processes is studied in the context of the erosion that takes place downstream from a submerged sluice gate. The most important factors, which affect the local scour processes downstream of the sluice gate are identified and grouped by dimensional analysis to obtain the dimensionless parameters. Experiments were carried out in a horizontal rectangular flume of 9 m long, 0.5 m wide and 0.6 m height. Two gradations of uniform non-cohesive bed material were used for various tailwater depths and flow rate conditions. A total of 22 tests were carried out, each for a period of 12 h. An equilibrium scour condition was not attained over this time period for any of the tests, although a similarity in the bed profiles is observed in the region close to the rigid apron. Based on the experimental data, new dimensionless equations and graphs are presented to determine the shape and dimensions of characteristic lengths of scour hole such as maximum depth of hole and its position, brink scour depth, maximum extension of hole, dune height and its distance from the end of apron. Also, the results are compared with previous researches.

**Keywords:** Local scour, Sluice gate, Rigid apron, Geometrical similarity

1,2,3 - Ph.D. Student, and Associate Professor & MSc. Student Department of Irrigation and Reclamation Engineering, University of Tehran  
(\* -Corresponding Author Email: [hhamidifar@ut.ac.ir](mailto:hhamidifar@ut.ac.ir))